




EUROPÄISCHE PATENTANMELDUNG


Anmeldenummer: 82101259.8



Int. Cl.³: A 61 N 1/36
 A 61 B 5/14, G 05 B 13/02

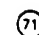

Anmeldetag: 19.02.82



Priorität: 26.02.81 DE 3107128



Veröffentlichungstag der Anmeldung:
 15.09.82 Patentblatt 82/37



Benannte Vertragsstaaten:
 CH DE FR GB IT LI NL SE



Anmelder: Wirtzfeld, Alexander
 Hauptstrasse 26b
 D-8191 Thanning(DE)



Anmelder: Heinze, Roland
 Wilhelm Diess Weg 13
 D-8000 München 81(DE)



Anmelder: Bock, Thomas
 Kafkastrasse 48
 D-8000 München 83(DE)


Anmelder: Liess, Hans Dieter
 Fasanenstrasse 106
 D-8025 Unterhaching(DE)


Erfinder: Wirtzfeld, Alexander
 Hauptstrasse 26b
 D-8191 Thanning(DE)

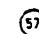

Erfinder: Heinze, Roland
 Wilhelm Diess Weg 13
 D-8000 München 81(DE)


Erfinder: Bock, Thomas
 Kafkastrasse 48
 D-8000 München 83(DE)


Erfinder: Liess, Hans Dieter
 Fasanenstrasse 106
 D-8025 Unterhaching(DE)

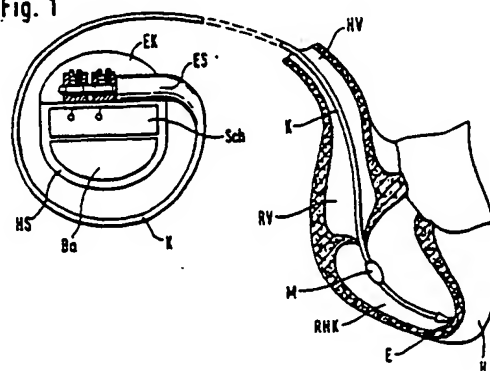

Vertreter: Hansmann, Dierk, Dipl.-Ing.
 Jessenstrasse 4
 D-2000 Hamburg 50(DE)


Verfahren und Einrichtung zur Regelung der Stimulationsfrequenz von Herzschrittmachern.


 Bei einem Verfahren und einer Einrichtung zur Frequenzregelung eines Herzschrittmachers in Abhängigkeit von der gemessenen Änderung eines physiologischen Kreislaufparameters ist vorgesehen, daß sich die Schlagfrequenz des Herzens wie im natürlichen Fall den jeweiligen Belastungsverhältnissen anpaßt und die optimale hämodynamische Situation vom Schrittmacher selbst gefunden wird. Hierbei wird zur Bestimmung der Regelgröße ($B_{S1(4)}$) der Quotient aus der Meßwertänderung des physiologischen Parameters (ΔS_{O2}) innerhalb relativ kurzer Zeitabstände ($\Delta t_{1(4)}$) dividiert durch die maximale Meßwert-Änderung (ΔS_{O2max}) innerhalb relativ langer Zeit (Δt_0) verwendet. Weiterhin wird bei Nutzung der zentralvenösen Sauerstoffsättigung die Stimulationsfrequenz (f) des Schrittmachers derart geregelt, daß immer der größtmögliche Wert der Blutsauerstoffsättigung bei der niedrigstmöglichen Stimulationsfrequenz (f) erreicht wird und dabei die zentralvenöse Sauerstoffsättigung mit einer optischen Reflexionsmeßsonde (M) gemessen wird, die aktive Lichtsende- und Lichtempfangselemente (32, 37) enthaltend mit nur zwei elektrischen Zuleitungen (30, 36)

auskommt und im Stimulationskatheder (K) hinter der Elektrode (E) integriert ist.

Fig. 1



Verfahren und Einrichtung zur Regelung der Stimulationsfrequenz von Herzschrittmachern

Die Erfindung betrifft ein Verfahren und eine Einrichtung zur Frequenzregelung eines Herzschrittmachers in Abhängigkeit von der gemessenen Änderung eines physiologischen Kreislaufparameters vorzugsweise der zentralvenösen Sauerstoffsättigung. Sie findet somit Anwendung
5 bei allen Patienten, die einen Herzschrittmacher benötigen.

Die Erfindung dient dem Ziel, bei Herzschrittmacherpatienten den Sauerstoffbedarf des Körpers über den Blutkreislauf dadurch optimal zu decken, daß sich die Schlagfrequenz des Herzens wie im natürlichen Fall den jeweiligen Belastungsverhältnissen anpaßt, wobei die optimale hämodynamische Situation vom Schrittmacher selbst gefunden
10 wird.

Sie hat zugleich den Zweck, trotz der erweiterten Schrittmacherfunktion, die bisherige bewährte Ausführungsform der Herzschrittmacher und der zugehörigen Schrittmacherkatheder praktisch nicht zu verändern, so daß sowohl die
20 bekannten Implantationstechniken gleichbleiben, als auch die hohen Anforderungen bezüglich des Langzeiteinsatzes erfüllt werden können.

Es ist bereits nach der DE-OS 27 17 659 bekannt, beim Herzschrittmacher die Schrittmacherfrequenz über eine Messung der zentralvenösen Sauerstoffsättigung zu steuern und so den jeweiligen Belastungsverhältnissen anzupassen. Dabei wird die Messung der Blutsauerstoffsättigung mit Hilfe einer Lichtleitersonde durchgeführt, die
30 in den Stimulationskatheder eingebaut ist. Das dabei verwendete Meßprinzip der Reflexionsoximetrie beruht auf der Bestimmung der Reflexionsintensitäten von Licht der Meßwellenlänge von 660 nm (R660) und der Referenzwellenlänge von ca. 800 nm (R800) im Blut.
35

Kennzeichen der angewandten Frequenzanpassung ist eine feste Zuordnung der Schrittmacherfrequenz f zum jeweils ermittelten Meßwert der Sauerstoffsättigung S_{O_2}

5 $f = k \cdot S_{O_2}$, wobei $f_{\min} < f < f_{\max}$.

Die Werte für k , f_{\min} und f_{\max} müssen vor der Implantation fest eingestellt werden.

Weiterhin ist aus der DE-OS 21 13 247 bekannt, daß das
10 Verhältnis der beiden Meßwerte R_{800}/R_{660} direkt proportional zur Blutsauerstoffsättigung S_{O_2} ausgedrückt durch das Verhältnis $\frac{HbO_2}{HbO_2 + Hb}$ ist (wobei Hb für Hämoglobin und HbO₂ für Oxyhämoglobin steht).

- 15 Die nach dem in der DE-OS 27 17 659 angegebenen Prinzip ausgeführten Herzschrittmacher zeigen eine Reihe von Problemen, die einem klinischen Einsatz derartiger Schrittmacher bisher im Wege stehen. Die Meßmethode verträgt keine Veränderungen auf der optischen
20 Übertragungsstrecke (Lichtleiter, Reflexionsraum und Koppelstellen), die eine wellenlängenabhängige Signalbeeinflussung verursachen. Dazu kann es kommen durch:
- schadhafte Koppelstellen
 - Materialveränderungen am Lichtleiter
 - 25 - Ablagerungen auf der Lichtöffnung am Katheder
 - Fremdobjekte im Reflexionsbereich (Herzwand, Trabekeln)

Weiterhin kann sich die Steuerung der Schrittmacherfrequenz in Abhängigkeit von der Sauerstoffsättigung nach
30 einer fest vorgegebenen Kennlinie nachteilig auswirken, wenn bei Fortschreiten der kardialen Grunderkrankung eine Änderung der Beziehung Herzleistung zu Herzfrequenz eintritt. Durch zu starkes Anheben der Frequenz kann es dann sogar zu einer Verschlechterung der Hämodynamik kommen.
35

Das Meß- und Steuerprinzip erfordert eine Eichung vor der Implantation und erhöht dementsprechend die Be-

dienanforderungen.

Außerdem besitzt der Katheder nur eine begrenzte Funktionstüchtigkeit, da die Endhalterungen der Lichtleiter
 5 langfristig instabil werden, weil die den größten Teil der auf den Katheder wirkenden Zugbelastungen aufnehmen müssen.

Zudem ist die Wechselfestigkeit der Lichtleiter für den
 10 Langzeiteinsatz mit den heutigen Materialien nicht gegeben, und die Notwendigkeit, beim Kombikatheder die Lichtöffnung seitlich anzubringen, läßt technisch keinen Spielraum zur Weiterführung eines Mandrins (Stahldraht, der bei der Implantation in den hochelastischen Katheder
 15 geschoben wird, um die Einführung des Katheders in die Herzkammer zu erleichtern) über diese Stelle hinaus. Darüber hinaus ist das Koppelsystem zwischen Kombikatheder und Schrittmacher um ein vielfaches aufwendiger in der Herstellung, empfindlicher im Einsatz und voluminöser
 20 als bei konventioneller Schrittmachertechnik.

Da die Energieverluste bei dem Einsatz der Lichtleitertechnik und dem erwähnten Meßprinzip nur mit hoher optischer Präzision klein zu halten sind, steigen auch die Kosten
 25 für das Gesamtsystem gegenüber konventioneller Technik auf ein mehrfaches.

Der Erfindung liegt die Aufgabe zugrunde, die beschriebenen Hindernisse zu überwinden und sowohl das Meßverfahren zur Bestimmung der Blutsauerstoffmessung als auch das Verfahren zur Regelung der Stimulationsfrequenz so zu gestalten, daß eine langfristige, ungestörte Meßwert-
 30 erfassung und die bestmögliche hämodynamische Situation im Blutkreislauf garantiert ist und zugleich die Betriebssicherheit nicht verringert, sondern möglichst erhöht
 35 wird, wobei technisch langfristig bewährte, unkritische Bedien- und Herstellungspraktiken zum Einsatz kommen sollen.

Die Lösung dieser Aufgabe erfolgt durch die Merkmale des Anspruches 1. Eine Einrichtung und weitere Ausgestaltungen der Erfindung sind durch die Merkmale der Ansprüche 2 bis 17 gekennzeichnet.

5

Die Vorteile, die sich hierdurch erzielen lassen, bestehen darin:

- 10 - Mit der erfindungsgemäßen Meßsonde M ist der Katheder in seinem mechanischen Aufbau praktisch identisch mit den seit langem im Einsatz befindlichen bipolaren Kathedern und bringt dementsprechend keine zusätzlichen Probleme bezüglich der mechanischen Langzeitfestigkeit und der Implantationstechnik und besitzt die besten Eigenschaften bezüglich einer langfristigen optischen Er-
15 fassung der Blutsauerstoffsättigung.
- Die Meßwerterfassung ermöglicht es, mit nur zwei elektrischen Leitungen (Drahtwedeln) im Katheder auszukommen und damit die bewährten Kathedertechniken zu nutzen.
- Die Meßwertverarbeitung ermöglicht es, unabhängig von
20 sehr kurzen oder langfristigen Veränderungen auf der Meßstrecke normale zeitliche Schwankungen der körperlichen Belastung des Patienten mit gleichbleibender Genauigkeit zu erfassen.
- Das Regelverfahren zur Anpassung der Stimulationsfrequenz an die Belastungen des Patienten ermöglicht sowohl
25 eine direkte Nachregelung bei Belastungsschwankungen als auch eine autonome Optimalregelung im Sinne einer bestmöglichen Sauerstoffversorgung bei möglichst geringer Herzbelastung, also möglichst niedriger Stimulations-
30 frequenz.
- Die Fehlerdetektion ermöglicht die Erkennung von Störungsfällen bei der Meßwerterfassung und -Auswertung sowie bei Bruch der elektrischen Leitungen im Katheder und die Nutzung von zwei Leitungen zur lebenswichtigen Stimu-
35 lation - und erhöht damit die Funktionssicherheit.

Ein Ausführungsbeispiel der Erfindung ist in den Zeich-

nungen dargestellt und wird in folgendem näher beschrieben. Es zeigen:

Figur 1 eine Anordnung eines Herzschrittmachers mit
5 Stimulationkatheder und Meßsonde zur Reizung des Herzmuskels,

Figur 2 einen Längsschnitt durch eine Meßsonde mit konzentrisch angeordneten Drahtwedeln,

10 Figur 3 einen Längsschnitt durch eine weitere Ausführungsform einer Meßsonde mit parallel angeordneten Drahtwedeln,

Figur 4 einen Schnitt gemäß Linie IV-IV der Figur 3,

15 Figur 5 einen Schnitt gemäß Linie V-V der Figur 3,

Figur 6 eine Ansteuerschaltung der Meßsonde,

20 Figur 7 eine Schaltung der Meßsonde,

Figur 8 ein Diagramm der Strom-Spannungskennlinien der Meßsonde,

25 Figur 9 ein Blockschaltbild für eine analoge Signalwandler-Schaltung,

Figur 10 ein Blockschaltbild eines Herzschrittmachers,

30 Figur 11 ein Diagramm des zeitlichen Verlaufs der Stimulationsfrequenz in Abhängigkeit von der zentralvenösen Blutsauerstoffsättigung.

Gemäß Figur 1 enthält der Herzschrittmacher HS den Stromversorgungsteil Ba, den elektronischen Schaltungsteil
35 Sch und die zweipolige elektrische Kupplung EK. In der Kupplung EK ist der zweipolige elektrische Stecker ES des Stimulationkatheters K festgeschraubt. Der Katheder führt über die obere Hohlvene HV in den rechten Vor-

hof RV und dann in die rechte Herzkammer RHK, so daß dort von der Meßsonde M die Blutsauerstoffsättigung gemessen und durch die Stimulationselektrode E der Herzmuskel H gereizt wird.

5

Gemäß Figur 2 bis 5 sind zwei Ausführungsformen näher gezeigt. Von den heute im Einsatz befindlichen bipolaren Stimulationskathedern gibt es im wesentlichen zwei Ausführungsformen. Bei beiden sind die zwei elektrischen Leitungen Drahtwedeln 30, 30¹, 36, 36¹, die in der

10

einen Ausführungsform (Figur 3) parallel nebeneinander liegen und in der anderen Form (Figur 4) konzentrisch zueinander angeordnet sind.

15

In der Ausführung als kombinierter Meß- und Stimulationskatheder dienen beide Drahtwendeln 30 oder 30¹ und 36 oder 36¹ sowohl als Zuleitung zur Stimulationselektrode E als auch als Stromzuführung zur Meßsonde M. Der Kontakt zur Meßsonde M geschieht über das Ringelement 31, dessen Innengewinde für einen dauerhaften

20

Druckkontakt sorgt. Das Ringelement 31 dient gleichzeitig als Träger für das (die) Sendeelement(e) 32, - jeweils eine rotstrahlende licht emitierende Diode -, das (die) kathodenseitig mit dem Ringelement 31 kontaktiert

25

(Klebekontakt) ist (sind). Das Ringelement 31 ist weiterhin mit der ebenfalls zur Stimulationselektrode führenden Drahtwendel 33 bzw. 33¹ über Gewindekontakt elektrisch verbunden. Die Drahtwendel 33 ist zur Stimulationssicherung redundant ausgeführt. Zwischen dem

30

steckerseitigen Teil des 1. Ringelementes 31 und dem 2. Ringelement 34 bzw. 34¹ ist eine festklebende Ringisolierung 35 angebracht. Das 2. Ringelement 34 hat Gewindekontakt mit der Sondenleitung - Drahtwendel 36 bzw. 36¹ und dient als Träger für das (die) Empfangs-

35

element(e) 37 - jeweils ein Phototransistor. Sofern die in den Figuren 2 und 3 nicht dargestellte Überbrückungsdiode D₀ für den Fall eines Leitungsbruches nicht im Empfangs- bzw. Sendeelement integriert

ist, muß sie zusätzlich als Einzelelement auf einem
der beiden Ringelemente 31 oder 34 angebracht werden.
Die zweite Zuleitung zu den Sende- und Empfangsele-
menten 32 und 37 (bzw. Überbrückungsdiode) ist jeweils
5 ein Bonddraht 38 vom gegenüberliegenden Ringelement.

Um den Sondenkörper aus den beiden Ringelementen 31
und 34 ist als Schutz für die Sende- und Empfangsele-
mente ein Glasring 39 gelegt, der an den Rändern fest
10 mit den Ringelementen verschweißt ist.

Zur Isolierung zwischen den Zuleitungen (Drahtwendeln)
dient der Isolierschlauch 40, nach außen gegenüber dem
Medium (Blut) dagegen der äußere transparente Isolier-
15 schlauch 41.

Figur 7 zeigt die Schaltung der Meßsonde bestehend aus
dem Sendeelement 32 - einer Leuchtdiode -, dem Empfangs-
element 37 - einem npn-Phototransistor - und der Ober-
20 brückungsdiode D_0 .

In Figur 8 ist das Funktionsprinzip der Meßsonde M an-
hand ihrer Strom-Spannungskennlinien 42 und 43 zu er-
kennen. Fehlt ein Reflexionskörper 44 in der Meßanord-
nung Figur 7, dann ergibt sich die I-U-Kennlinie 42.
25 Trifft jedoch Licht von einem Reflexionskörper 44 (im
Anwendungsfall Blut) auf das Empfangselement 37, so er-
gibt sich die I-U-Kennlinie 43.

30 Die Intensität des reflektierten Lichtes ist somit bei
konstantem Strom J_K proportional der Änderung der Span-
nung ΔU_s und entsprechend bei konstanter Spannung U_K
proportional der Stromänderung ΔJ_s .

35 Die angegebene Kombination von Sende- und Empfangsele-
ment behält auch bei Parallelschaltung mit ein oder
zwei weiteren Kombinationen ihre prinzipielle Funk-
tionsweise.

Figur 6 zeigt das Ausführungsbeispiel einer Ansteuer-
erschaltung der Meßsonde, die einen Impuls mit kon-
stantem Spannungsverlauf an den Zuleitungen 30,36 zur
Meßsonde erzeugt, so daß der Verlauf des Stromes J_s
5 durch die Meßsonde abhängig wird von dem durch die
Meßsonde aufgenommenen Reflexionslicht und damit auch
der Spannungsverlauf am Arbeitswiderstand R_v . Erreicht
also die Sondenspannung U_s einen festen Wert U_K ist in
diesem Moment die Meßspannung U_M :

$$10 \quad U_M = I_s \cdot R_v$$

und damit proportional zur Intensität des von der Meß-
sonde aufgenommenen, vom Blut reflektierten Lichts, wo-
bei der Reflexionsfaktor des Blutes je nach Wellen-
länge eine Funktion der Blutsauerstoffsättigung ist.

15 In Figur 9 ist das Funktionsprinzip für eine analoge
Signal-Wandler-Schaltung 8 dargestellt. Damit wird das
aus einem positiven, in der Taktphase T_1 ankommenden
Meßimpuls U_{MM} und einem negativen, in der Taktphase
20 T_2 ankommenden Fehlererkennungsimpuls $-U_{MF}$ beste-
hende Meßsignal U_M von zwei Sample-and Hold-Schaltun-
gen $(S+H)_{1/2}$ aufgenommen, so daß der eine Speicher
 $(S+H)_1$ über den in der Taktphase T_1 geschlossenen
Schalter S_1 die Amplitude des Meßimpulses U_{MM} und
25 der andere Speicher $(S+H)_2$ über den in der Taktphase
 T_2 geschlossenen Schalter S_2 die Amplitude des Fehler-
erkennungsimpulses $-U_{MF}$ speichert. In dem anschlies-
senden Summationsschalterkreis werden die Signalwerte
 U_{MM} und $-U_{MF}$ derart ausgewertet, daß der im Meßimpuls
30 mitenthaltene, vor allem durch Widerstandsänderungen
auf den Übertragungsleitungen 30,36 und Temperatur-
drift der optischen Meßsonde M entstandene Meßfehler
beseitigt wird.

35 In Figur 10 sind als Blockschaltbild die wichtigsten
Funktionen des erfindungsgemäßen Herzschrittmachers
dargestellt. Dabei kennzeichnen die gestrichelt ein-
gerahmten Felder die übergeordneten Funktionseinhei-
ten und zwar bedeuten:

- 9 -
- I Katheder
 - II Katheder-Ansteuerung
 - III Meßwert-Auswertung
 - IV Frequenzregelung
 - V Programmsteuerung

5

Es liefert ein festfrequenter Taktgenerator 1 die Zeitbasis für eine Programmsteuerung 2, die alle Meß- und Regelvorgänge der Schrittmacherschaltung steuert.

10

Die Programmsteuerung startet in Abhängigkeit von einem Stimulationsfrequenzgeber 3 vorgegebenen Zeitcode die Aussendung des Stimulationsimpulses durch einen Stimulationspulsgeber 4 über eine Stimulationselektrode 5 sowie direkt anschließend die Messung der Blutsauerstoffsättigung über die Meßsonde M mit der Meßsonden-Ansteuerung 7. Das Meßsignal wird im Signalwandler 8 von Störgrößen getrennt, verstärkt und bei Einsatz einer digitalen Meßwertverarbeitung in digitale Form umgewandelt. Ein Integrator 9 bildet den Mittelwert der Meßsignale über einen vorgegebenen Zeitraum. Die Speicher 10 bis 15 übernehmen den integrierten Signalwert, und zwar die Speicher 10 und 11 abwechselnd im Zeitraum Δt_1 und die Speicher 12 und 13 abwechselnd im Zeitraum Δt_4 . Im Maximalwertspeicher 14 wird der in einem vorgegebenen Zeitbereich Δt_0 höchste eintreffende Meßsignalwert gespeichert und im Minimalwertspeicher 15 der jeweils niedrigste Wert.

30 Im Differenzbildner 16 wird die Meßwertdifferenz ΔS_{O_2} zwischen dem neuen und dem jeweils vorhergehenden Meßsignal in Speicher 10 bzw. Speicher 11 festgestellt und im Differenzbildner 17 die Meßwertdifferenz zwischen Inhalt von Speicher 12 bzw. 13. Im Differenzbildner 18 wird der maximale Meßwertschwankungsbereich $S_{O_2 \max} - S_{O_2 \min} = \Delta S_{O_2 \max}$, so daß das im Dividierer 19 und 20 ermittelte Verhältnis von kurzzeitiger Meßwertschwankung zum maximalen Schwankungsbereich jeweils die normierte Meßgröße B_s ergibt:

$$B_{S1(4)} = \frac{\Delta S_{O2} \cdot \Delta t_0}{\Delta S_{O2max} \cdot \Delta t_1(4)}$$

In der Frequenzregelung IV stellt ein Komparator 21 fest, ob die zeitliche Änderung der normierten Meßgröße ΔB_{S1} größer oder kleiner als ein vorgegebener Wert $+A_1$ bzw. $-A_1$ ist.

In der folgenden Stimulationsfrequenzsteuerung 23 wird im Fall $\Delta B_{S1} < A_1$ eine Änderung der Stimulationsfrequenz um einen positiven Wert $+\Delta f$ und im Fall $\Delta B_{S1} > +A_1$ um einen negativen Wert $-\Delta f$ bewirkt und das Vorzeichen der Änderung im Speicher 24 abgespeichert. Im Fall $-A_1 < \Delta B_{S1} < +A_1$ wird nach einem fest vorgegebenen Zeitintervall Δt_5 automatisch eine Änderung der Stimulationsfrequenz in der Frequenzsteuerung 23 veranlaßt, wobei das Vorzeichen der Änderung entgegengesetzt dem im Speicher 24 festgehaltenen Wert ist, solange die Tendenzsteuerung 25 keine Vorzeichen-Wiederholung bewirkt. Nach dem vorgegebenen Zeitintervall Δt_4 beurteilt der Komparator 22, ob die Änderung der Meßgröße ΔB_{S4} größer als ein fester Wert A_2 bzw. kleiner als $-A_2$ ist, worauf die vorausgegangene Frequenzänderung entweder rückgängig gemacht wird oder bleibt.

Die Fehlererkennung 26 vergleicht das von der Meßauswertung aufgenommene Signal mit zulässigen Grenzwerten und setzt bei Überschreitung dieser Grenzwerte den Stimulationsfrequenzgeber 3 auf Festfrequenz f_0 und schließt über den Schalter 27 die beiden Kathederanschlüsse kurz, wodurch die Messung und Regelung außer Kraft gesetzt wird.

Im EKG-Verstärker 28 wird die Herzeigenaktivität zwischen den Stimulationen überwacht und über den Komparator 29 im Fall einer Herzeigenerregung die Stimulation durch den Impulsgeber verhindert.

Figur 10 zeigt die erfindungsgemäße Regelung der Herz-
schrittmarker-Stimulationsfrequenz f in Abhängigkeit
von der Belastung des Patienten, dargestellt durch den
Zusammenhang im zeitlichen Verlauf des Meßwertes der
5 Blutsauerstoffsättigung S_{O_2} , dessen Veränderungen pro
Zeiteinheit Δt_1 und Δt_4 , sowie der dadurch bewirkten
Änderung der Frequenz f .

Bei Beginn der Belastungsphase BP sinkt die zentralve-
10 nöse Sauerstoffsättigung S_{O_2} , d.h. die Änderung pro
Zeiteinheit Δt_1 bezogen auf eine maximale Schwankungs-
breite $\Delta S_{O_{2max}}/\Delta t_0$ zwischen den Grenzwerten $S_{O_{2max}}$ und
 $S_{O_{2min}}$ ergibt einen negativen Wert für B_{S1} . Ist dieser
kleiner als $-A_1$ folgt innerhalb des Zeitintervalls Δt_2
15 automatisch eine Frequenzänderung um $+\Delta f_1$. Erreicht da-
gegen die Sauerstoffsättigung S_{O_2} in der Belastungsphase
BP einen gewissen Gleichgewichtszustand, so daß der Wert
von B_{S1} zwischen $-A_1$ und $+A_1$ pendelt, beginnt die Opti-
malregelung, und zwar im Sinne einer besseren Sauerstoff-
20 versorgung zuerst immer mit einer positiven Frequenzän-
derung $+\Delta f_2$ nach Δt_5 . Bewirkt dieses $+\Delta f_2$ eine Erhöhung
des S_{O_2} -Wertes innerhalb der Zeiteinheit Δt_4 und ist
dieser Wert - bezogen wieder auf $\Delta S_{O_{2max}}/\Delta t_4$ - größer als
ein Festwert $+A_2$, dann bleibt die Frequenzänderung und
25 veranlaßt aufgrund des positiven Ergebnisses zugleich
nach weiteren Δt_5 eine erneute Frequenzerhöhung um Δf_2 .
Ergibt diese keine positive S_{O_2} -Änderung, ist also nach
 Δt_4 der B_{S4} -Wert kleiner als $+A_2$, wird die Frequenzände-
rung rückgängig gemacht. Beginnt dann die Ruhephase RP,
30 und steigt der B_{S1} -Wert über den Festwert $+A_1$, so folgt
automatisch eine negative Frequenzänderung ^{off} solange, bis
 B_{S1} wieder kleiner ist als $+A_1$. Dann setzt erneut die
Optimalregelung mit einer positiven Frequenzänderung
 $+\Delta f_2$ nach Δt_5 ein und wiederholt dies so oft, wie nach
35 Δt_4 der B_{S4} -Wert größer ist als $+A_2$, also eine Verbesse-
rung der Sauerstoffsättigung S_{O_2} erfolgt.

Patentansprüche:

1. Verfahren zur Frequenzregelung eines Herzschrittmachers in Abhängigkeit von der gemessenen Änderung eines physiologischen Kreislaufparameters vorzugsweise der zentralvenösen Sauerstoffsättigung, dadurch gekennzeichnet, daß

a) zur Bestimmung der Regelgröße $B_{S1(4)}$ der Quotient gebildet wird aus der Meßwert-Änderung des physiologischen Parameters (ΔS_{O2}) innerhalb relativ kurzer Zeitabstände ($\Delta t_{1(4)}$) (Sekunden, Minuten) dividiert durch die maximale Meßwert-Änderung ($\Delta S_{O2 \max}$) innerhalb relativ langer Zeit (Δt_o) (Stunden, Tage etc.) daß also

$$B_{S1(4)} = \frac{\Delta S_{O2} \cdot \Delta t_o}{\Delta S_{O2 \max} \cdot \Delta t_{1(4)}}$$

b) bei Nutzung der zentralvenösen Sauerstoffsättigung als physiologischer Parameter abhängig von der Regelgröße $B_{S1(4)}$ die Stimulationsfrequenz (f) des Schrittmachers derart geregelt wird, daß immer der größtmögliche Wert der Blutsauerstoffsättigung bei der niedrigstmöglichen Stimulationsfrequenz erreicht wird.

c) die zentralvenöse Sauerstoffsättigung mit Hilfe einer optischen Meßsonde (M) derart gemessen wird, daß das von einem Lichtsendeelement (32) ausgesendete und vom Blut (44) reflektierte Licht in einem Lichtempfangselement (37) einen Stromfluß verursacht, der bei konstanter Sondenspannung (U_K) eine Erhöhung (ΔJ_S) des Stromflusses (J_S) durch die Sonde bewirkt oder bei konstantem Stromfluß (J_K) eine Dämpfung (ΔU_S) der Sondenspannung (U_S) herbeiführt.

2. Verfahren nach Anspruch 1, dadurch gekennzeichnet, daß eine Nachlaufregelung (17) die Stimulationsfrequenz (f) des Herzschrittmachers derart regelt, daß

- 13 -

bei Veränderungen der Sauerstoffsättigung Δs_{O_2} 0059868
 Zeiteinheit Δt_1 nach einem weiteren Zeitintervall Δt_2
 die Stimulationsfrequenz f um den Betrag Δf_1 geän-
 dert wird, also jeweils ein $\frac{-\Delta f_1}{\Delta t_2}$ erfolgt, so-

- 5 lange der Absolutwert der gemessenen Änderung der
 Sauerstoffsättigung größer ist als ein bestimmter
 Wert A_1 , d.h. solange:

$$|B_{S1}| > A_1 \text{ ist,}$$

und diese Änderungen, nämlich:

10 $-\frac{\Delta f_1}{\Delta t_2} \text{ nach } + B_{S1}$

bzw. $+\frac{\Delta f_1}{\Delta t_2} \text{ nach } - B_{S1}$

weiterhin nur solange erfolgt, bis ein vorgegebener
 Grenzwert f_{\min} bzw. f_{\max} erreicht ist.

- 15 3. Verfahren nach Anspruch 1, dadurch gekennzeichnet,
 daß eine zweite, optimierende Regelung die Stimulations-
 frequenz f derart regelt, daß sie in Zeitabschnitten
 Δt_5 in denen der Betrag der Meßgröße B_{S1} kleiner als
 der Wert A_1 ist, also

20 $|B_{S1}| < A_1,$

selbständig eine zeitliche Änderung der Stimulationsfre-
 quenz $+\frac{\Delta f_2}{\Delta t_3}$ bewirkt, und nach einem weiteren Zeitin-

tervall Δt_4 die Meßgröße $+\frac{\Delta f_2}{\Delta t_3} B_{S4}$ dahingehend auswertet,
 daß eine positive Frequenzänderung nur dann bestehen

- 25 bleibt, wenn sie eine positive Änderung der Sauerstoff-
 sättigung bewirkt hat, wenn also

$$B_{S4} > A_2 \text{ nach } +\frac{\Delta f_2}{\Delta t_3}$$

und daß eine negative Frequenzänderung immer dann bleibt,
 wenn sie keine negative Änderung der Blutsauerstoff-

- 30 sättigung bewirkt, wenn also

$$B_{S4} > -A_2 \text{ nach } -\frac{\Delta f_2}{\Delta t_3}.$$

4. Verfahren nach Anspruch 1, dadurch gekennzeichnet,
daß die optimierende Regelung der Stimulationsfrequenz eine Tendenz zu einer Festfrequenz f_0 aufweist, die z.B. dadurch erzielt wird, daß die selbständige Frequenzänderung $\frac{\Delta f_2}{\Delta t_3}$ häufiger negativ ist, wenn die Stimulationsfrequenz größer ist als ein vorgegebener Festwert f_0 und daß $\frac{\Delta f_2}{\Delta t_3}$ häufiger positiv ist, wenn die Stimulationsfrequenz kleiner ist als f_0 .
- 5 5. Verfahren nach Anspruch 1 und 2, dadurch gekennzeichnet, daß im Fall $|B_{S1}| > A_1$ eine Kontrolle vorgesehen ist, die feststellt, ob im Zeitraum Δt_5 vorher eine selbständige Frequenzänderung Δf_2 stattgefunden hat, welches Vorzeichen die Frequenzänderung hatte und die diese Änderung rückgängig macht, wenn sie der durch die Nachlaufregelung vorgesehenen Antwort auf $B_{S1} > A_1$ entgegengesetzt ist, eine Kontrolle also, welche die Dominanz der Nachlaufregelung gegenüber der Optimalregelung sichert.
- 10 20 6. Verfahren nach Anspruch 1, dadurch gekennzeichnet, daß eine Programmsteuerung die Meßwerterfassung und -Auswertung direkt vor oder nach Aussenden des Stimulationsimpulses bzw. nach Empfang des Erkennungssignals bei einer Herzeigenerregung startet.
- 25 7. Verfahren nach Anspruch 1, dadurch gekennzeichnet, daß der Wert der Konstantspannung (U_K)- bzw. Konstantstrom (J_K)- Meßimpulses langfristig (Wochen bis Monate) abhängig ist von dem im Maximalwertspeicher (14) gespeicherten Wert $S_{O2 \max}$ und zwar derart, daß ein für die geforderte Meßgenauigkeit ausreichender Wert für $S_{O2 \max}$ bei minimalem Stromverbrauch der Meßsonde erreichbar ist.
- 30 35 8. Verfahren nach Anspruch 1, dadurch gekennzeichnet, daß eine Kontrolle einen Fehlerfall bei der Meßwert-

erfassung der Meßwertauswertung und der Frequenzregelung durch Grenzwertvergleich erkennt und in jedem Fehlerfall die Stimulationsfrequenz (f) auf einen Festwert (f_0) umschaltet und die zwei Zuleitungen (30,36) zur Meßsonde für die Stimulation galvanisch überbrückt.

9. Einrichtung zur Durchführung des Verfahrens gemäß Anspruch 1, dadurch gekennzeichnet, daß

- a) die optische Meßsonde (M) mindestens eine Kombination von nur zwei aktiven optoelektronischen Bauelementen (32,37), nämlich einem Lichtsendeelement (32) und einem Lichtempfangselement (37), sowie zusätzlich ein Halbleiterelement (D_0) enthält;
- b) daß die optische Meßsonde (M) im Stimulationskatheder (K) miteingebaut ist;
- c) daß die optische Meßsonde (M) über vorzugsweise nur zwei elektrische Leitungen (30,36; $30^1, 36^1$) die im Stimulationskatheder geführt werden mit einer Ansteuerschaltung (7) verbunden ist;
- d) daß die Ansteuerschaltung (7) mit Hilfe der Meßsonde (M) ein Meßsignal (U_M) erzeugt;
- e) daß die Signalwandlerschaltung (8) die mit der optischen Meßsonde (M) und der Ansteuerschaltung (7) gewonnenen Meßsignale (U_M) von Störgrößen trennt, verstärkt und in eine für die (digitale) Frequenzregelung geeignete Signalform umwandelt.

10. Einrichtung nach Anspruch 9, dadurch gekennzeichnet, daß in der Meßsonde das Lichtsendeelement (32) - eine Licht emittierende Diode (LED) - und das Lichtempfangselement (37) - ein Phototransistor - derart parallel geschaltet sind, daß bei Verwendung eines npn (pnp)-Phototransistors die Kathode der Diode (LED) mit dem Emitter (Kollektor) des Phototransistors und die Anode der Diode (LED) mit dem Kollektor (Emitter) des Phototransistors verbunden sind.

11. Einrichtung nach Anspruch 9, dadurch gekennzeichnet, daß in der Meßsonde (M) eine Halbleiterdiode (D_0) derart integriert ist, daß die Kathode der Diode (D_0) mit der Anode der Licht emittierenden Diode (32) und die Anode der Diode (D_0) mit der Kathode der Diode (32) verbunden ist.

12. Einrichtung nach Anspruch 9 bis 11, dadurch gekennzeichnet, daß die Ansteuerschaltung der Meßsonde (M) durch einen elektrischen Impulsgenerator gebildet ist, der vorzugsweise einen positiven und negativen Impuls der gesteuerten Sondenspannung (U_K) bzw. des Sondenstromes (J_K) erzeugt, der über mindestens einen Arbeitswiderstand (R_V) derart an die Zuleitungen (30,36) zur Meßsonde (M) weitergegeben wird, daß die Spannung (U_M) an dem bzw. den Widerständen (R_V) als Meßwert ausnutzbar ist.

13. Einrichtung nach Anspruch 9 bis 12, dadurch gekennzeichnet, daß die Signal-Wandler-Schaltung (8), die am Arbeitswiderstand (R_V) sequentiell anliegenden positiven und negativen Impulse ($+U_{MM}$, $-U_{MF}$) derart verarbeitet, daß die im eigentlichen Meßimpuls (U_{MM}) mitenthaltenen Meßfehler vor allem durch Widerstandsänderungen der Zuleitungen (30,36) und Temperaturdrift der Meßsonde (M) beseitigt werden.

14. Einrichtung nach Anspruch 9 bis 13, dadurch gekennzeichnet, daß der Körper der Meßsonde (M) aus zwei gegeneinander isolierten metallischen Ringelementen (31, 34) zusammengesetzt ist, die als Träger mindestens eines Sende- (32) bzw. Empfangselementes (37) dienen und zugleich elektrisches Verbindungsstück zu den Sondenleitungen (36,30) sind.

15. Einrichtung nach Anspruch 9 bis 14, dadurch gekennzeichnet, daß mehrere Lichtsende- (32) und Lichtempfangselemente (37) derart kreisförmig um die Achse des Katheders auf den Ringelementen (31,34) angeordnet sind, daß der Meßwinkel in der Querschnittsebene des Katheders bis zu 360° betragen kann.

16. Einrichtung nach Anspruch 9 bis 15, dadurch gekennzeichnet, daß beide elektrische Zuleitungen (30,36) zur Meßsonde (M) zugleich als Stromzuführung zur Stimulations-
elektrode (E) dienen.

5

17. Einrichtung nach Anspruch 9, dadurch gekennzeichnet, daß ein transparenter Schutzmantel (39), vorzugsweise aus Glas, die Meßsonde (M) umgibt.

10

18. Einrichtung nach Anspruch 9, dadurch gekennzeichnet, daß die Meßsonde (M) zwischen der als Drahtwedel ausgebildeten elektrischen Stimulationsleitung (30) und dem transparenten Isolierschlauch (41) derart angeordnet ist, daß dieser weder unterbrochen, noch wesentlich verformt

15

wird.

19. Einrichtung nach Anspruch 9, dadurch gekennzeichnet, daß die Meßsonde (M) vorzugsweise derart im Katheder (K) integriert wird, daß sie bei Implantation im Bereich der
20 Segelklappen positioniert werden kann, also etwa 4 bis 8 cm hinter der Stimulationselektrode.

1/5

Fig. 1

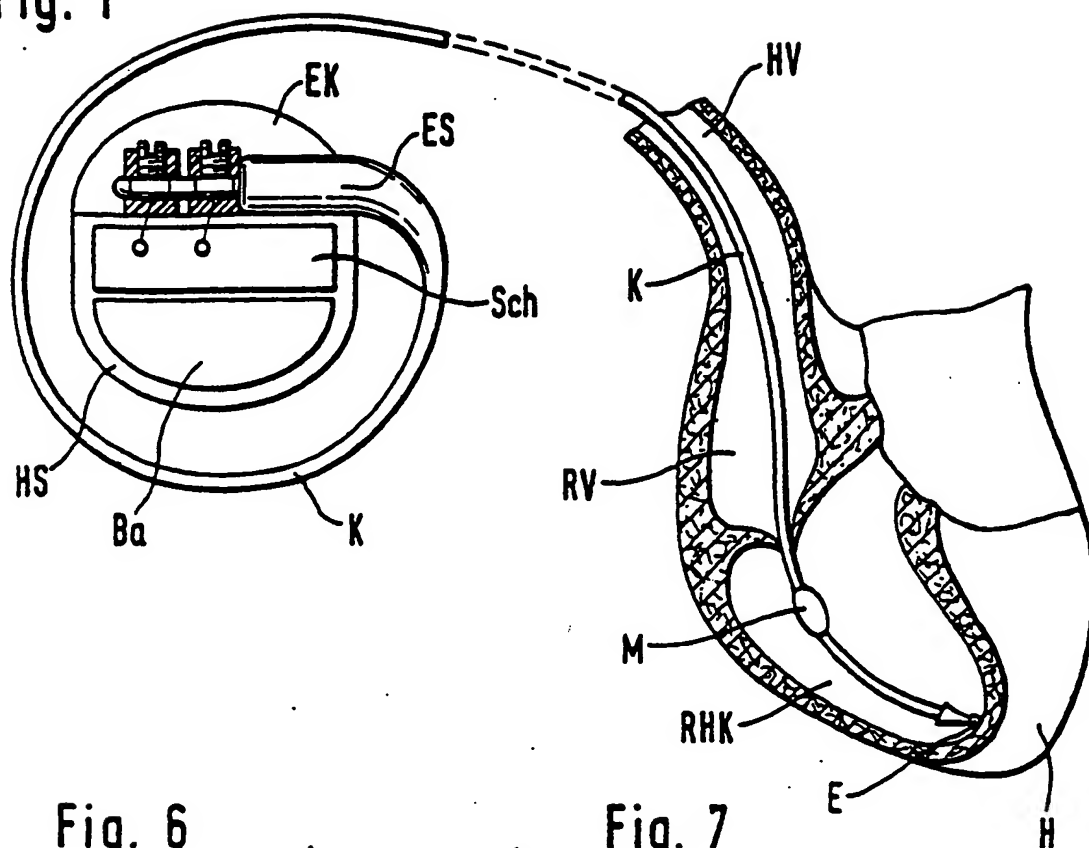


Fig. 6

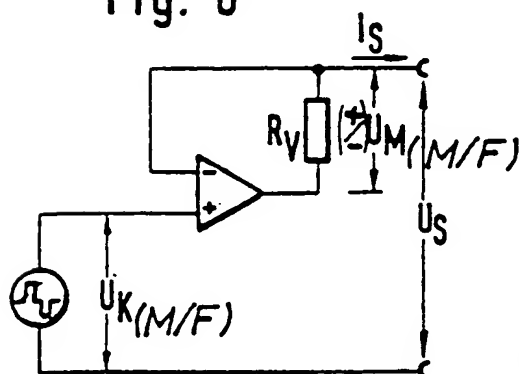


Fig. 7

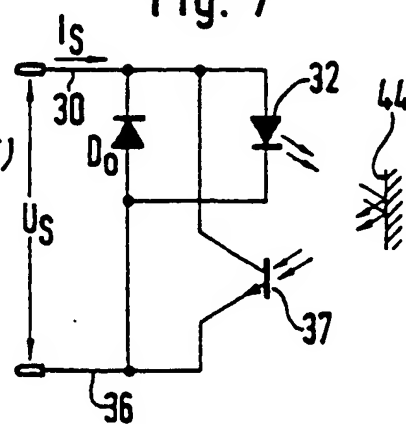
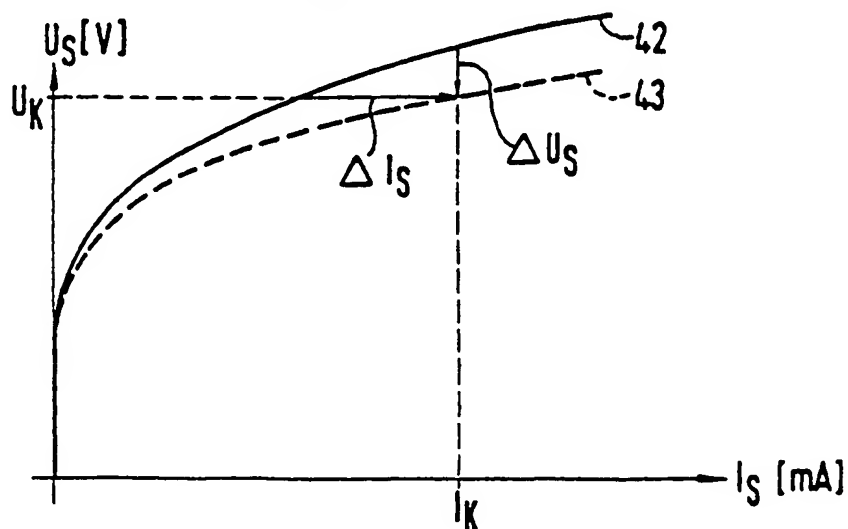


Fig. 8



2/5

Fig. 2

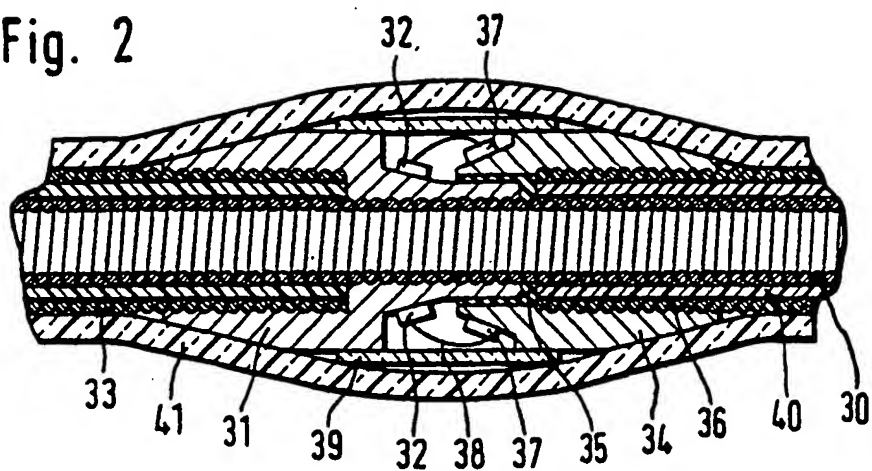


Fig. 3

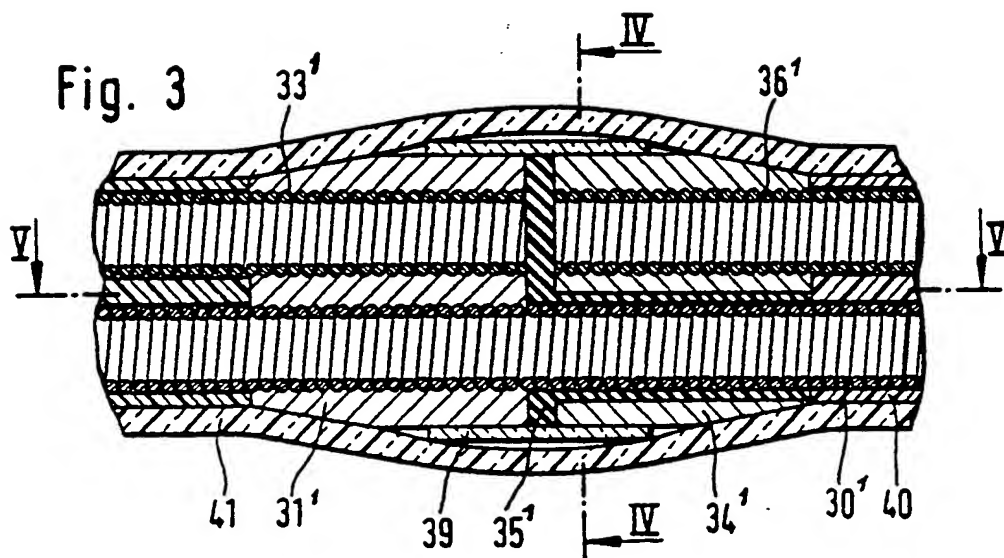


Fig. 4

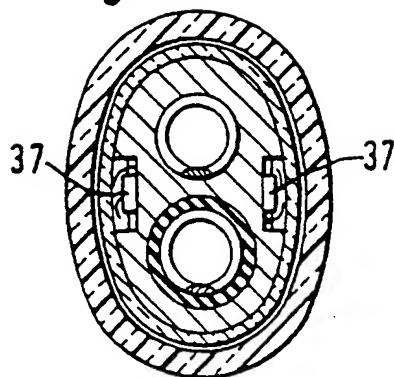
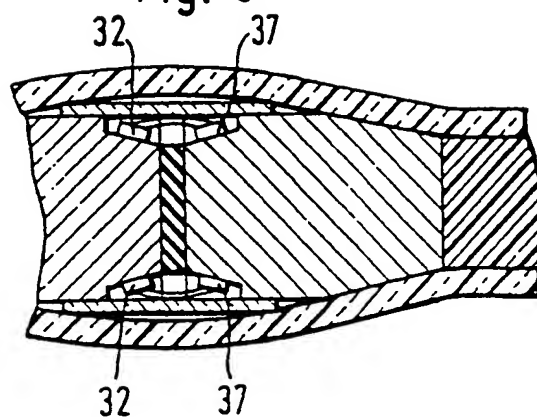


Fig. 5



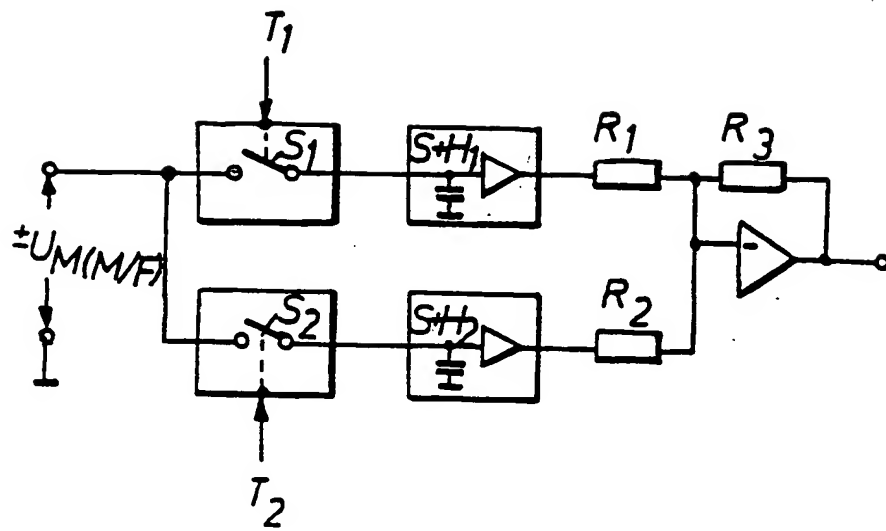
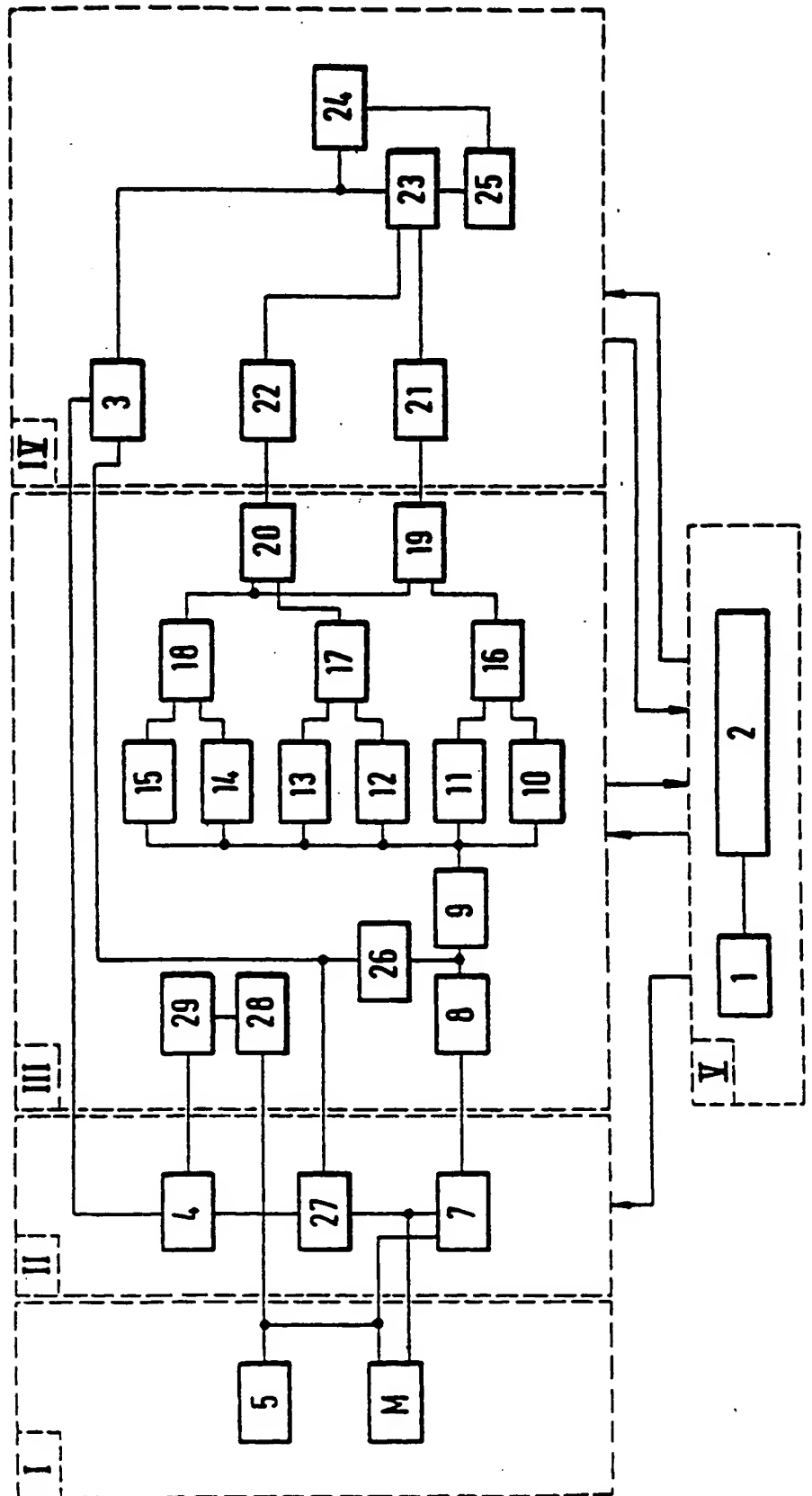


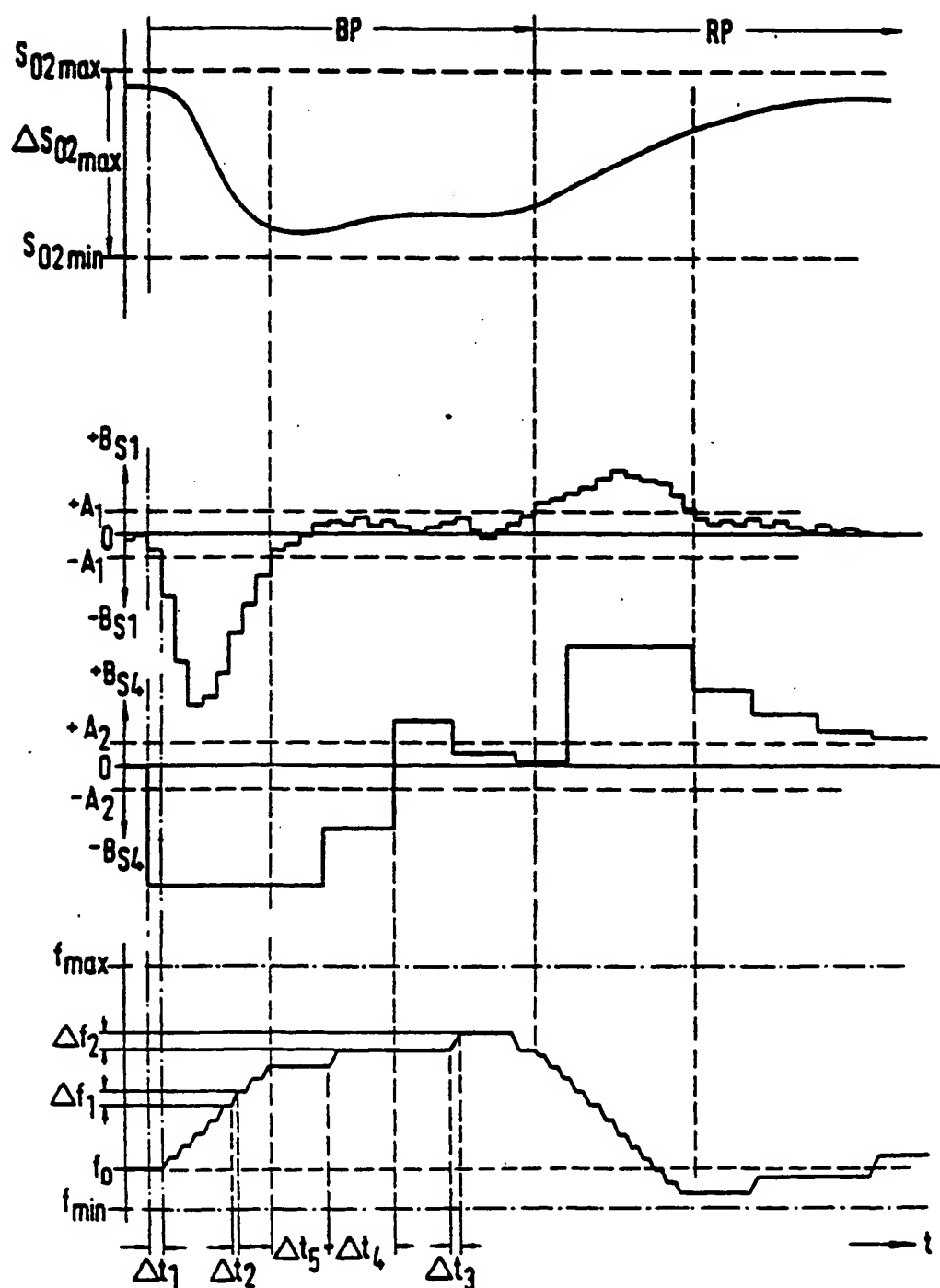
Fig. 9

Fig. 10



5/5

Fig. 11





Europäisches
Patentamt

EUROPÄISCHER RECHERCHENBERICHT

0059868

Nummer der Anmeldung

EP 82 10 1259

EINSCHLÄGIGE DOKUMENTE			
Kategorie	Kennzeichnung des Dokuments mit Angabe, soweit erforderlich, der maßgeblichen Teile	Betrifft Anspruch	KLASSIFIKATION DER ANMELDUNG (Int. Cl. 3)
A	IEEE TRANS. ON BIOMEDICAL ENGINEERING; Band BME-24, Nr. 2, März 1977, Seiten 195-197, New York, USA S. YEE et al.: "A proposed miniature red/infrared oximeter suitable for mounting on a catheter tip" * Seite 195, linke Spalte, Zusammenfassung und rechte Spalte, Abschnitt 3; Seite 196, linke Spalte, Abschnitte 2,3 *	1,9,17	A 61 N 1/36 A 61 B 5/14 G 05 B 13/02
A	--- DE-A-2 609 365 (CSAPO) * Seite 5, Abschnitt 4; Seite 7, Zeilen 10-21; Seite 9, Abschnitt 1*	1,9,16	
A	--- US-A-4 009 721 (ALCIDI) * Spalte 3, Zeilen 4-27 *	1	RECHERCHIERTE SACHGEBIETE (Int. Cl. 3)
	-----		A 61 N A 61 B G 05 B
Der vorliegende Recherchenbericht wurde für alle Patentansprüche erstellt.			
Recherchenort DEN HAAG		Abschlußdatum der Recherche 07-06-1982	Prüfer SIMON J.J.E.
<p>KATEGORIE DER GENANNTEN DOKUMENTEN</p> <p>X : von besonderer Bedeutung allein betrachtet Y : von besonderer Bedeutung in Verbindung mit einer anderen Veröffentlichung derselben Kategorie A : technologischer Hintergrund O : nichtschriftliche Offenbarung P : Zwischenliteratur T : der Erfindung zugrunde liegende Theorien oder Grundsätze</p> <p>E : älteres Patentdokument, das jedoch erst am oder nach dem Anmeldedatum veröffentlicht worden ist D : in der Anmeldung angeführtes Dokument L : aus andern Gründen angeführtes Dokument</p> <p>& : Mitglied der gleichen Patentfamilie, übereinstimmendes Dokument</p>			

**This Page is Inserted by IFW Indexing and Scanning
Operations and is not part of the Official Record**

BEST AVAILABLE IMAGES

Defective images within this document are accurate representations of the original documents submitted by the applicant.

Defects in the images include but are not limited to the items checked:

- ☐ BLACK BORDERS
- ☐ IMAGE CUT OFF AT TOP, BOTTOM OR SIDES
- ☐ FADED TEXT OR DRAWING
- ☒ BLURRED OR ILLEGIBLE TEXT OR DRAWING
- ☐ SKEWED/SLANTED IMAGES
- ☐ COLOR OR BLACK AND WHITE PHOTOGRAPHS
- ☐ GRAY SCALE DOCUMENTS
- ☐ LINES OR MARKS ON ORIGINAL DOCUMENT
- ☐ REFERENCE(S) OR EXHIBIT(S) SUBMITTED ARE POOR QUALITY
- ☐ OTHER: _____

IMAGES ARE BEST AVAILABLE COPY.

As rescanning these documents will not correct the image problems checked, please do not report these problems to the IFW Image Problem Mailbox.